

8 - 5 中国・四国地方の上下変動

Vertical Crustal Movements in the Chugoku and Shikoku Districts

国土地理院
Geographical Survey Institute

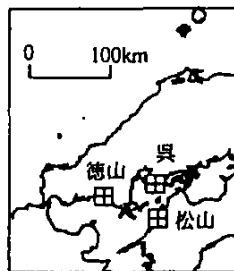
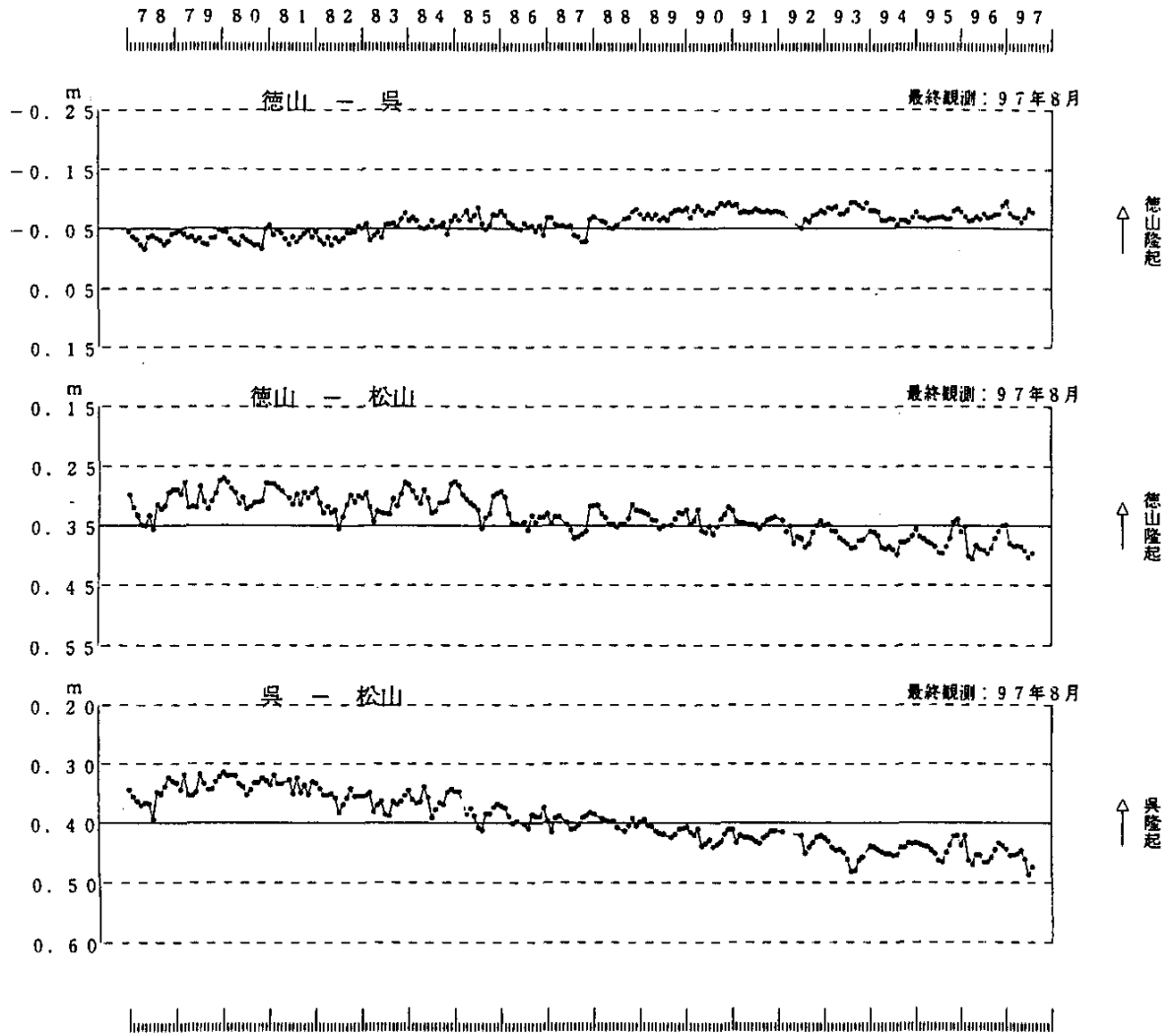
第1図～第4図は、瀬戸内西部地方，山陰地方，四国地方の月平均潮位差を示した図である。第1図の瀬戸内西部では，松山が長期的に隆起しているが，この1年で特に変わった変化は起きていない。第2図の山陰地方では，田後が長期的にわずかに隆起の傾向にあるが，この1年では特段の変化は見られない。第3図，第4図の四国地方では，室戸岬が長期的に沈降を続けていて，土佐清水も1989年頃から沈降の傾向を示している。この状態はここ1年で特に変化していない。

第5図は，6月25日に山口県北部で発生したM6.1の地震の震央周辺におけるGPS連続観測結果である。基線長の変化を見る限りでは，地震に伴うと考えられるような明瞭な変化は見られない。第6図では，この地震前後での周辺の観測点の変動ベクトルを示した。この変動は，地震記録から推定された北東 - 南西の右横ずれの発信機構と調和的である。

第7図は，9月4日に鳥取県西部で発生したM5.2の地震に伴うGPS連続観測点の変動ベクトルである。地震の規模があまり大きくないため，震源に近い観測点の変動ベクトルも測定誤差と同程度しかなく，パターンも明瞭ではない。

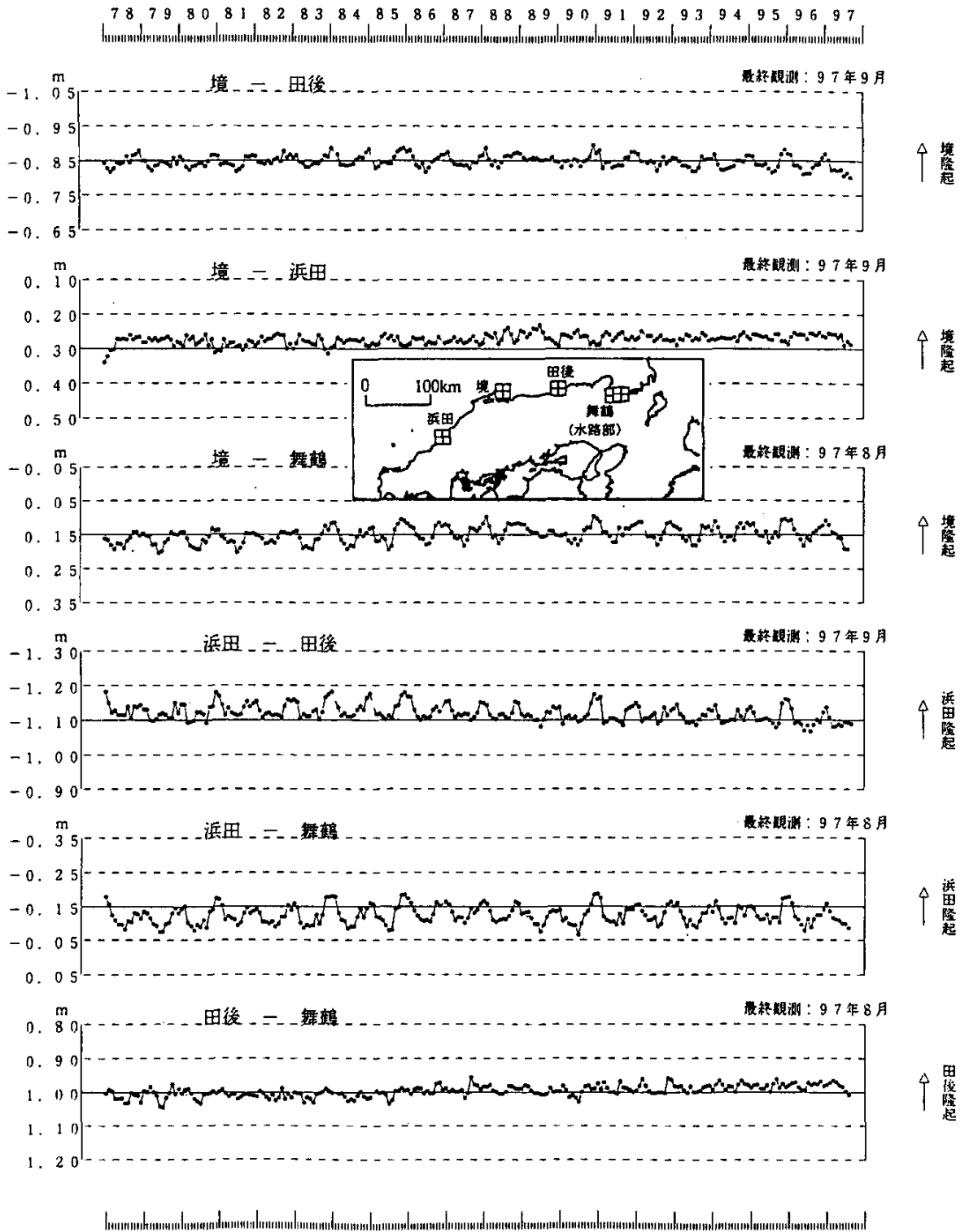
参 考 文 献

- 1) 国土地理院：中国・四国地方の上下変動，連絡会報，54 (1995)，757-761。
- 2) 国土地理院：中国・四国地方の地殻変動，連絡会報，55 (1996)，574-576。
- 3) 国土地理院：四国地方の上下変動，連絡会報，56 (1996)，580。
- 4) 国土地理院：中国・四国地方の地殻変動，連絡会報，57 (1997)，588-592。
- 5) 国土地理院：中国・四国地方の地殻変動，連絡会報，58 (1997)，555-565。



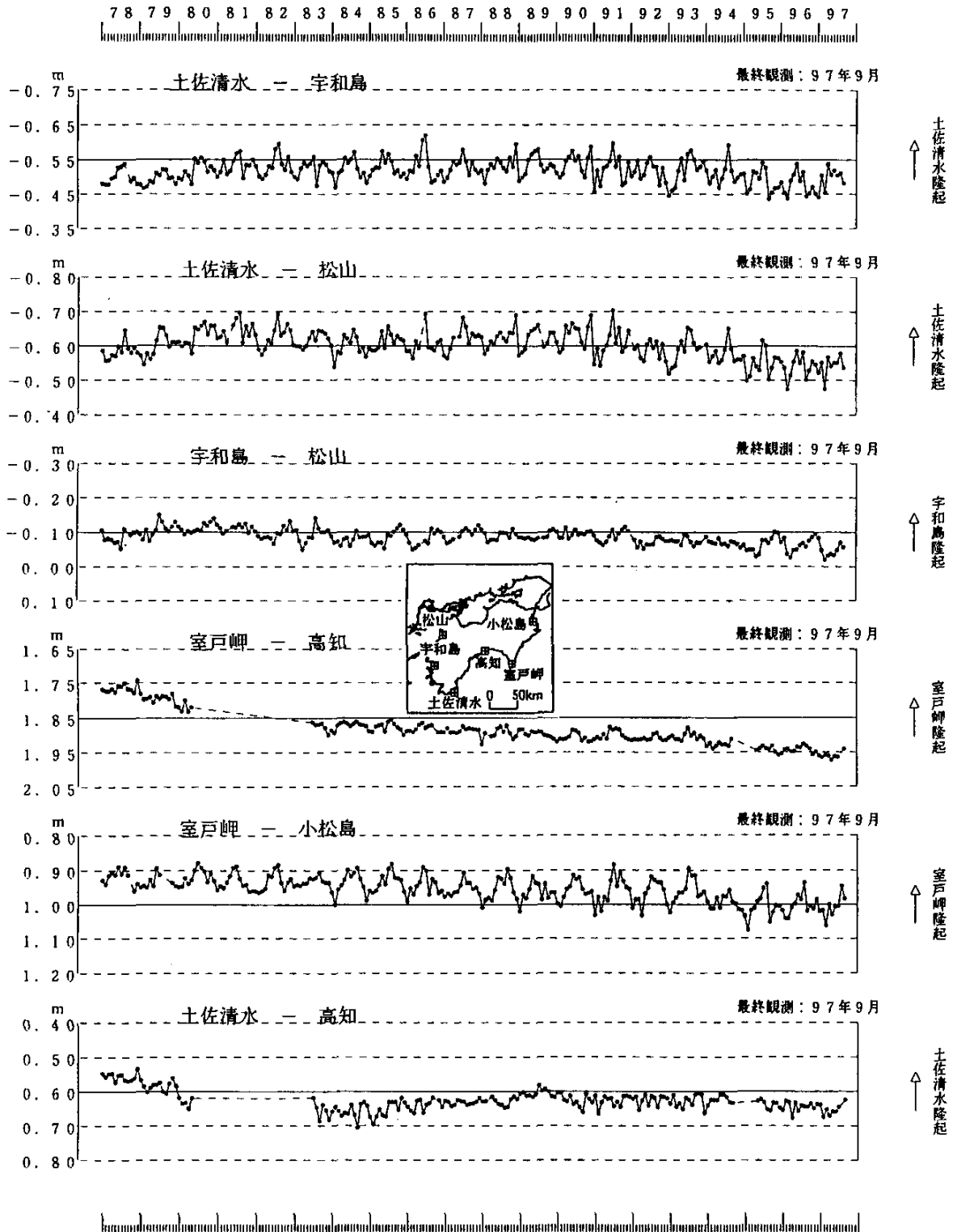
第1図 瀬戸内西部地方各験潮場間の月平均潮位差

Fig.1 Differences in monthly mean sea levels between the tidal stations along the coast of the Western Setouchi district.



第2図 山陰地方各験潮場間の月平均潮位差

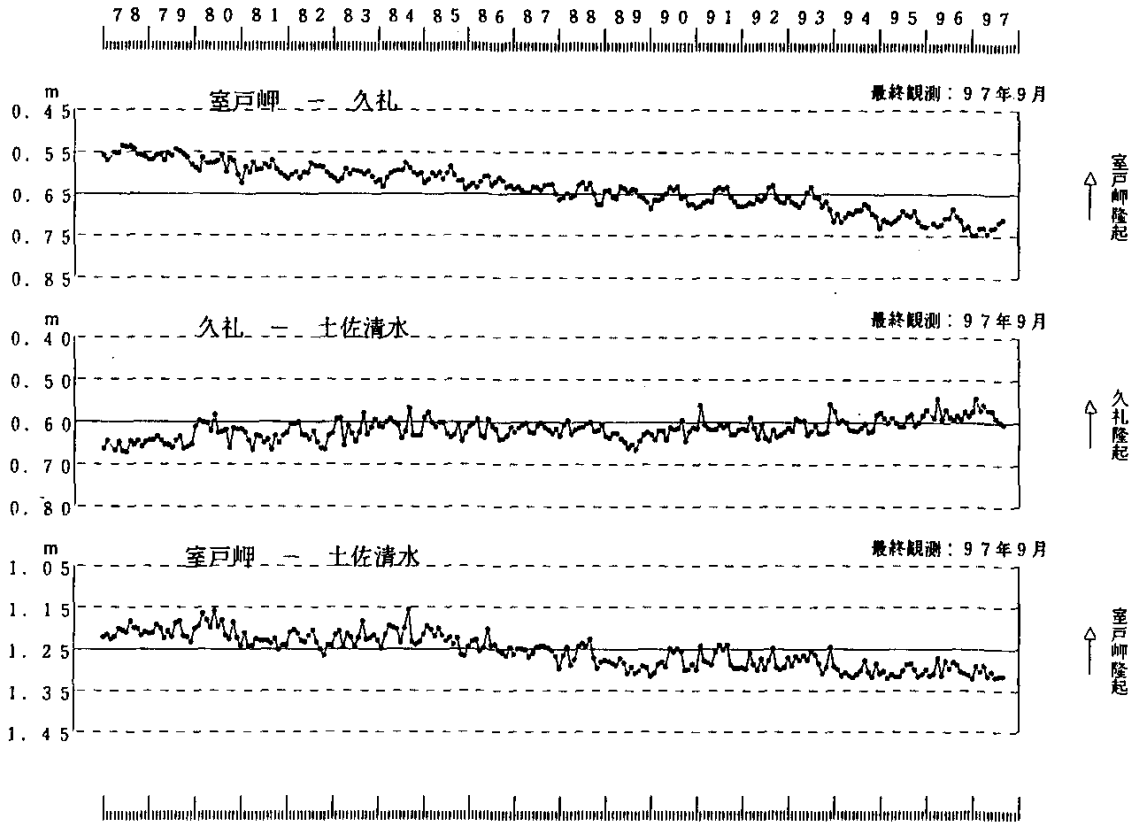
Fig.2 Differences in monthly mean sea levels between the tidal stations along the coast of the San'in district.



第3図 四国地方各験潮場間の月平均潮位差(1)

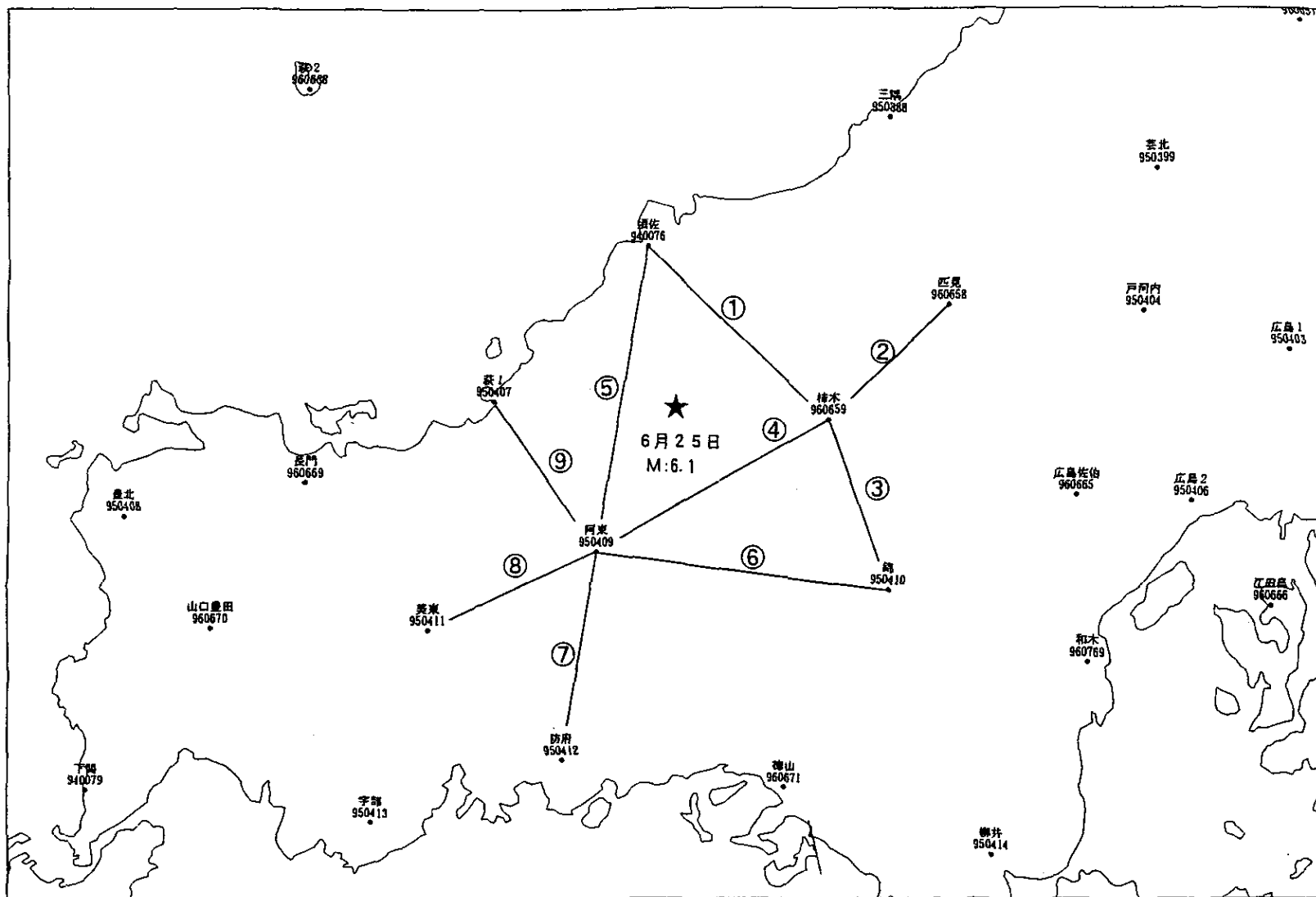
Fig.3 Differences in monthly mean sea levels between the tidal stations in the Shikoku district.(1)

海岸昇降検知センター
「潮位年報」による



第4図 四国地方各験潮場間の月平均潮位差(2)

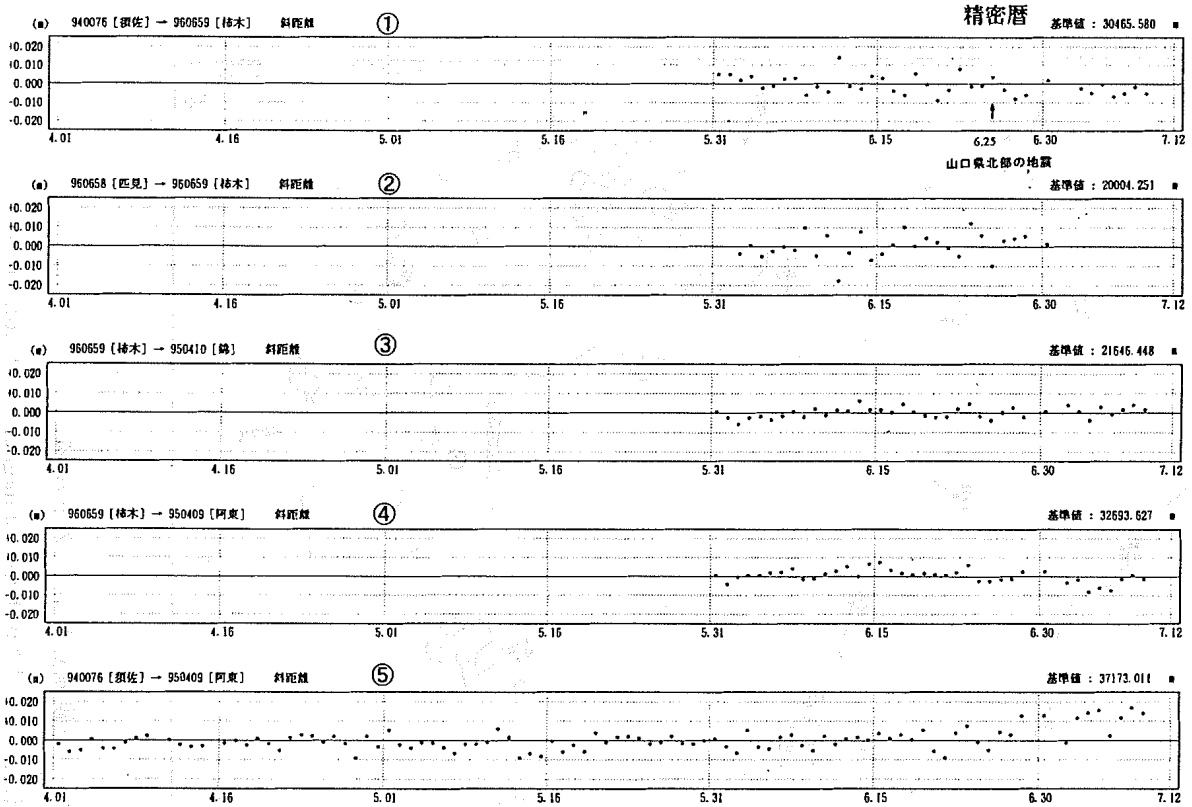
Fig.4 Differences in monthly mean sea levels between the tidal stations in the Shikoku district. (2)



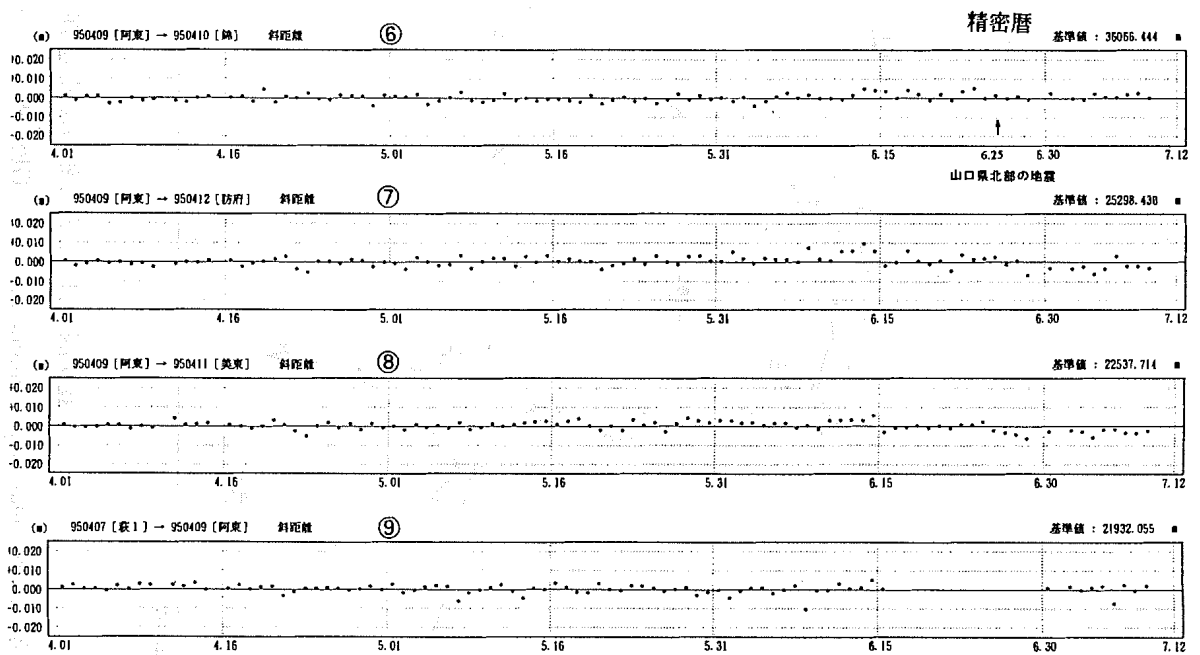
第 5 図 山口県北部周辺 GPS 連続観測結果：基線長（1）

Fig.5 Results of continuous GPS observation in Northern Yamaguchi Prefecture : Baseline length.(1)

期 間：1997年4月1日 ~ 1997年7月12日
 座標系：WGS84



期 間：1997年4月1日 ~ 1997年7月12日

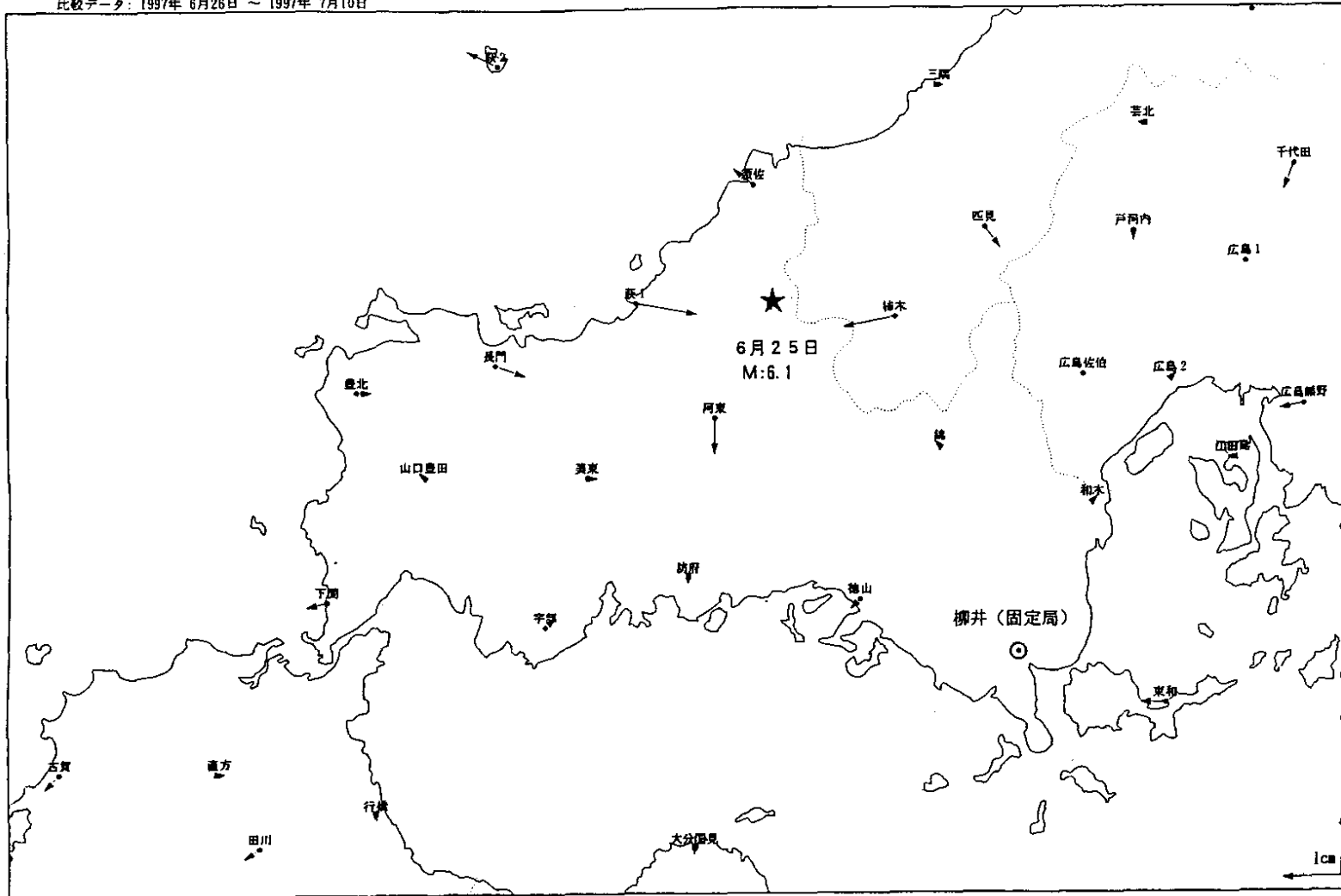


第5図 つづき(2)

Fig.5 (Continued) (2)

比較手法 : 平均値比較
 基準データ : 1997年 6月10日 ~ 1997年 6月24日
 比較データ : 1997年 6月26日 ~ 1997年 7月10日

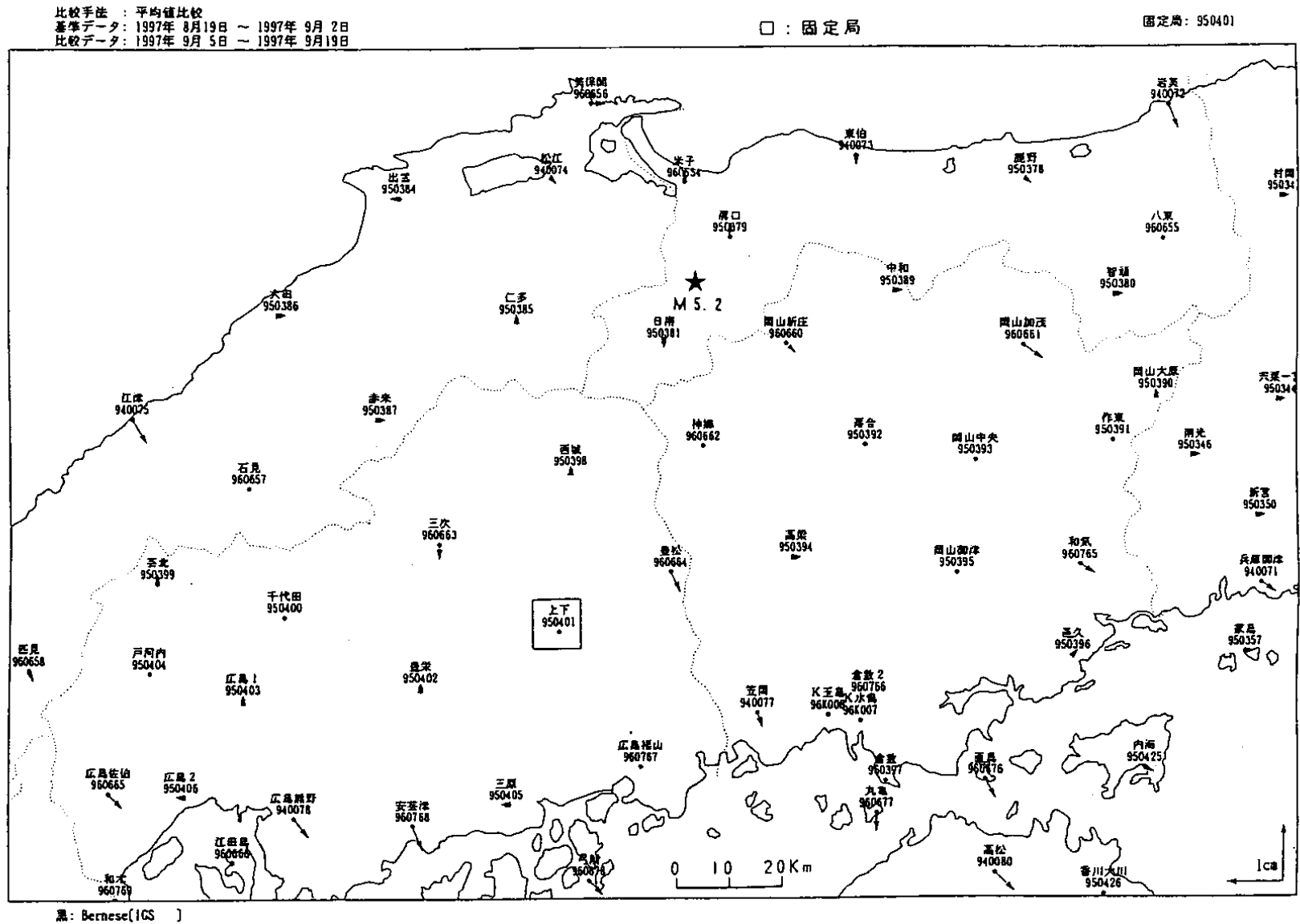
固定局 : 950414



黒: Bernese[IGS]

第6図 山口県北部の地震に伴う GPS 連続観測点移動ベクトル図

Fig.6 Horizontal displacement vectors of GPS observation stations around Northern Yamaguchi Prefecture relative to Yanai station associated with the earthquake on June 25, 1997.



第7図 鳥取県東部の地震に伴う GPS 連続観測点移動ベクトル図

Fig.7 Horizontal displacement vectors of GPS observation stations around Eastern Tottori Prefecture relative to Yanai station associated with the earthquake on September 4, 1997.